

# Contribuições à modelagem e controle de manipuladores paralelos

André Garnier Coutinho

Escola Politécnica da Universidade de São Paulo

Novembro de 2019

# Motivação

## Mecanismos paralelos

### Características Promissoras

### Características Promissoras

- Grande capacidade de carga
- Alta rigidez estrutural
- Alta precisão de posicionamento
- Baixa inércia
- Altas velocidades e acelerações

# Motivação

## Mecanismos paralelos

### Características Promissoras

- Grande capacidade de carga
- Alta rigidez estrutural
- Alta precisão de posicionamento
- Baixa inércia
- Altas velocidades e acelerações

### Inconvenientes

# Motivação

## Mecanismos paralelos

### Características Promissoras

- Grande capacidade de carga
- Alta rigidez estrutural
- Alta precisão de posicionamento
- Baixa inércia
- Altas velocidades e acelerações

### Inconvenientes

- Grande número de componentes mecânicos
- Pequena área de trabalho
- Dinâmica complexa e não linear

# Motivação

Mecanismos paralelos

## Aplicações

- Pick-and-place



# Motivação

## Mecanismos paralelos

### Aplicações

- Simuladores



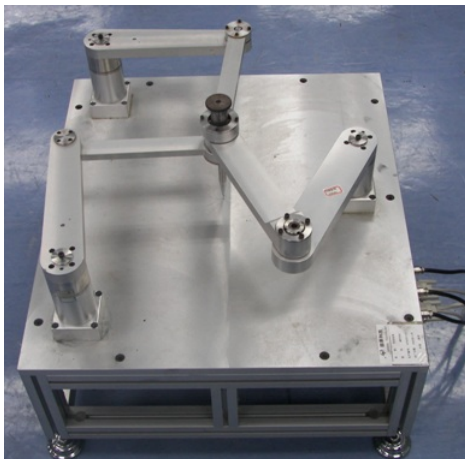


# Motivação

## Mecanismos paralelos

### Aplicações

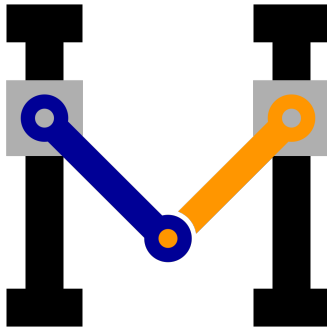
- Usinagem





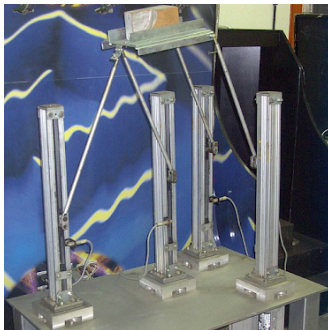
## LaMMaR

Laboratório de Mecanismos, Máquinas e Robôs



Robôs

Giovanna



Robôs

Dora

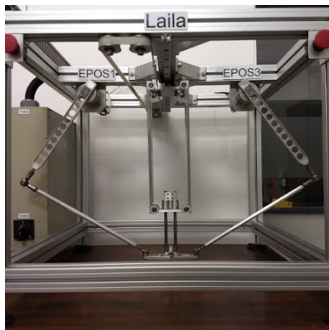


# Motivação

Grupo de pesquisa

Robôs

Laila

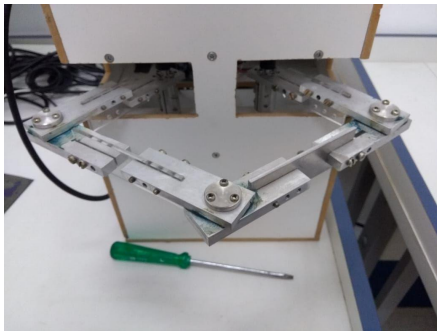


# Motivação

Grupo de pesquisa

Robôs

Clara



## Clara

- 2015
  - B. Ohashi: Síntese dimensional
  - V. Bartholomeu: Projeto e construção da estrutura mecânica
- 2016
  - V. Bartholomeu e J. de Oliveira-Fuess: Modelagem e simulações cinemática e dinâmica
- 2017
  - A. Coutinho, V. Bartholomeu e J. de Oliveira-Fuess: Construção do protótipo
- 2019
  - A. Coutinho: Implementação de técnicas de controle e ensaios experimentais

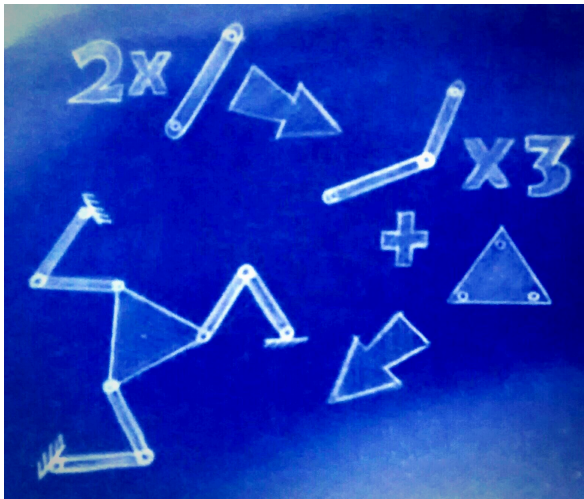


# Motivação

Metodologia modular de modelagem

# Motivação

Metodologia modular de modelagem



(Orsino 2015)

# Motivação

## Controle robusto

## Técnicas mais utilizadas

## Técnicas mais utilizadas

- PID

## Técnicas mais utilizadas

- PID
  - Controle linear
  - Simples implementação
  - Não baseado no modelo dinâmico do mecanismo
  - Desempenho bastante limitado

## Técnicas mais utilizadas

- PID
  - Controle linear
  - Simples implementação
  - Não baseado no modelo dinâmico do mecanismo
  - Desempenho bastante limitado
- CTC

## Técnicas mais utilizadas

- PID
  - Controle linear
  - Simples implementação
  - Não baseado no modelo dinâmico do mecanismo
  - Desempenho bastante limitado
- CTC
  - Controle não linear
  - Baseado no modelo dinâmico do mecanismo
  - Desempenho limitado pela qualidade do modelo
  - Implementação mais complexa



# Motivação

## Controle robusto

## Controle por Modos Deslizantes

## Controle por Modos Deslizantes

- Controle não linear robusto
- Pode ser baseado no modelo dinâmico do mecanismo

## Controle por Modos Deslizantes

- Controle não linear robusto
- Pode ser baseado no modelo dinâmico do mecanismo

## Vantagem

Desempenho menos dependente da qualidade do modelo

## Controle por Modos Deslizantes

- Controle não linear robusto
- Pode ser baseado no modelo dinâmico do mecanismo

## Vantagem

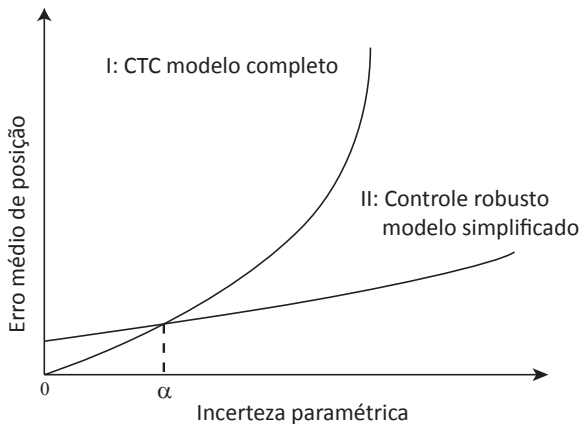
Desempenho menos dependente da qualidade do modelo

## Desvantagem

Pode causar chattering

# Motivação

## Controle robusto



(Slotine 1985)

# Objetivos

# Objetivos

## Geral

Contribuir para o aumento do desempenho de manipuladores paralelos



# Objetivos

## Geral

Contribuir para o aumento do desempenho de manipuladores paralelos

## Como?

# Objetivos

## Geral

Contribuir para o aumento do desempenho de manipuladores paralelos

## Como?

- Desenvolvimento de um algoritmo gerador de modelos dinâmicos completos de mecanismos paralelos, de forma implícita

# Objetivos

## Geral

Contribuir para o aumento do desempenho de manipuladores paralelos

## Como?

- Desenvolvimento de um algoritmo gerador de modelos dinâmicos completos de mecanismos paralelos, de forma implícita
- Síntese de leis de controle não linear robusto, de alto desempenho, aplicável a mecanismos paralelos

# Objetivos

## Geral

Contribuir para o aumento do desempenho de manipuladores paralelos

## Como?

- Desenvolvimento de um algoritmo gerador de modelos dinâmicos completos de mecanismos paralelos, de forma implícita
- Síntese de leis de controle não linear robusto, de alto desempenho, aplicável a mecanismos paralelos
- Comparação de desempenho das leis de controle propostas com as leis de controle mais encontradas na literatura, através de ensaios experimentais

# Escopo

## Algoritmo de modelagem

# Escopo

## Algoritmo de modelagem

### Mecanismos Paralelos

- Translacionais
- Efetuador rígido

# Escopo

## Algoritmo de modelagem

### Mecanismos Paralelos

- Translacionais
- Efetuador rígido

### Considera

- Inércia distribuída
- Ação da gravidade
- Atritos nas juntas
- Dinâmica dos atuadores

# Escopo

## Algoritmo de modelagem

### Mecanismos Paralelos

- Translacionais
- Efetuador rígido

### Considera

- Inércia distribuída
- Ação da gravidade
- Atritos nas juntas
- Dinâmica dos atuadores

### Não considera

- Folga nas juntas
- Deformações



# Escopo

Leis de controle

# Escopo

Leis de controle

Variáveis controladas

Posição do efetuador

# Escopo

Leis de controle

## Variáveis controladas

Posição do efetuador

## Variáveis monitoradas

Coordenadas dos atuadores

# Escopo

## Leis de controle

### Variáveis controladas

Posição do efetuador

### Variáveis monitoradas

Coordenadas dos atuadores

### Variáveis manipuladas

Torque aplicado pelos atuadores

# Escopo

## Leis de controle

### Variáveis controladas

Posição do efetuador

### Variáveis monitoradas

Coordenadas dos atuadores

### Variáveis manipuladas

Torque aplicado pelos atuadores

### Estratégias de controle

- Controle Proporcional Derivativo (PD)
- Controle por Torque Computado (TC)
- Controle Proporcional Derivativo + Modos Deslizantes (PDMD)
- Controle por Torque Computado + Modos Deslizantes (TCMD)

# Algoritmo de modelagem

## Formulação implícita

Torna possível a implementação em linguagens de programação de alta eficiência computacional, como C++

# Algoritmo de modelagem

## Metódos de modelagem dinâmica



# Algoritmo de modelagem

## Metódos de modelagem dinâmica

- Newton-Euler (1760)
- Princípio de D'Alembert (1742)
- Lagrange (1788)
- Hamilton (1833)
- Gibbs-Appel (1879-1900)
- Maggi (1896)
- Boltzmann-Hamel (1901)
- Kane (1965)
- Udwadia-Kalaba (1992)
- Orsino (2015)

# Algoritmo de modelagem

## Metódos de modelagem dinâmica

- Newton-Euler (1760)
- **Princípio de D'Alembert (1742)**
- Lagrange (1788)
- Hamilton (1833)
- Gibbs-Appel (1879-1900)
- Maggi (1896)
- Boltzmann-Hamel (1901)
- Kane (1965)
- Udwadia-Kalaba (1992)
- Orsino (2015)

# Algoritmo de modelagem

## Metódos de modelagem dinâmica

- Newton-Euler (1760)
- Princípio de D'Alembert (1742)
- Lagrange (1788)
- Hamilton (1833)
- Gibbs-Appel (1879-1900)
- Maggi (1896)
- Boltzmann-Hamel (1901)
- Kane (1965)
- Udwadia-Kalaba (1992)
- Orsino (2015)

Metódos que permitem formulação implícita

## Metódos que permitem formulação implícita

- Newton-Euler
- Kane
- Udwadia-Kalaba
- Orsino

# Algoritmo de modelagem

## Metódos que permitem formulação implícita

- Newton-Euler
- Kane
- Udwadia-Kalaba
- Orsino

## Método escolhido

# Algoritmo de modelagem

## Metódos que permitem formulação implícita

- Newton-Euler
- Kane
- Udwadia-Kalaba
- Orsino

## Método escolhido

Método Orsino:

# Algoritmo de modelagem

## Metódos que permitem formulação implícita

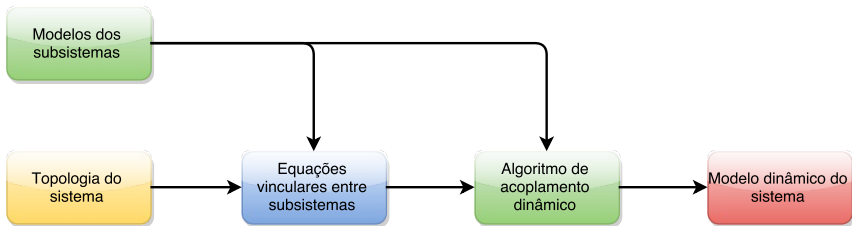
- Newton-Euler
- Kane
- Udwadia-Kalaba
- Orsino

## Método escolhido

Método Orsino: Permite realizar a modelagem de maneira modular



# Algoritmo de modelagem



(Orsino 2016)

# Algoritmo de modelagem

## Seriais

# Algoritmo de modelagem

Seriais

## Dados de entrada

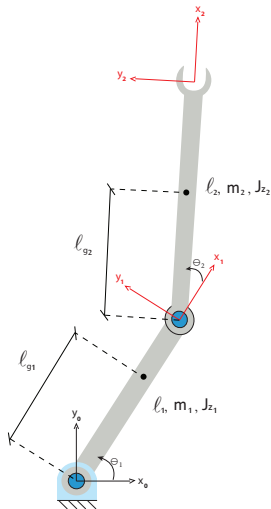
- Parâmetros de Denavit-Hartenberg ( $a_i, \alpha_i, \theta_i, d_i$ )
- Posição dos centros de massa em relação aos sistemas  $B_i$  ( $x_i, y_i, z_i$ )
- Massa  $m_i$  de cada ligamento
- Tensor de inércia  $[I_i]_{B_i | B_i}$  em relação ao centro de massa de cada ligamento
- Vetor aceleração gravitacional escrito no sistema fixo ( $[g]_N$ )

# Algoritmo de modelagem

Seriais: Exemplo

# Algoritmo de modelagem

Seriais: Exemplo



# Algoritmo de modelagem

Seriais: Exemplo

Ligamento	$a_i$	$\alpha_i$	$d_i$	$\theta_i$	$x_i$	$y_i$	$z_i$	$m_i$
(1)	$l_1$	0	0	$q_1(t)$	$l_{g1} - l_1$	0	0	$m_1$
(2)	$l_2$	0	0	$q_2(t)$	$l_{g2} - l_2$	0	0	$m_2$

$$[\mathbf{I}_1]_{B_1 | B_1} = \begin{bmatrix} 0 & 0 & 0 \\ 0 & Jz_1 & 0 \\ 0 & 0 & Jz_1 \end{bmatrix}$$

$$[\mathbf{I}_2]_{B_2 | B_2} = \begin{bmatrix} 0 & 0 & 0 \\ 0 & Jz_2 & 0 \\ 0 & 0 & Jz_2 \end{bmatrix}$$

$$[\mathbf{g}]_N = [0 \quad -g \quad 0]^T$$

# Algoritmo de modelagem

## Paralelos

# Algoritmo de modelagem

## Paralelos

### Dados de entrada

- Modelo da plataforma/efetuador
- Modelo das cadeias seriais
- Matrizes constantes que descrevem a arquitetura do mecanismo ( $\mathcal{d}$ ,  $\mathbb{D}$ ,  $\mathbb{E}$ ,  $\mathbb{F}$ ,  $\mathbb{P}$ ,  $\mathbb{Q}$ ,  $\mathbb{R}$ )

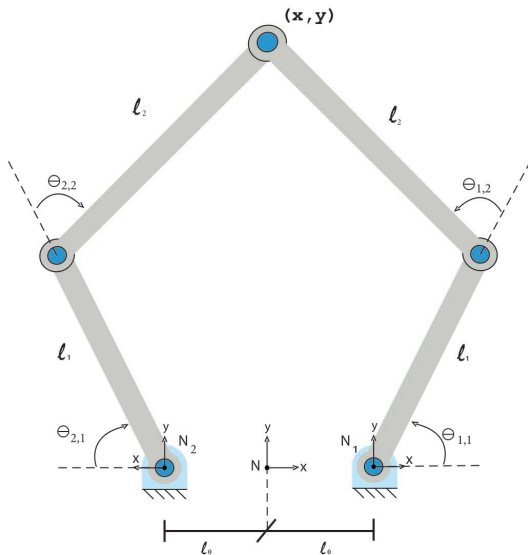


# Algoritmo de modelagem

Paralelos: Exemplo

# Algoritmo de modelagem

## Paralelos: Exemplo



# Algoritmo de modelagem

## Paralelos: Exemplo

$$q^{\#} = \begin{bmatrix} 1 & 0 & 0 \\ 0 & 1 & 0 \end{bmatrix} \cdot x_1(q_1) + \begin{bmatrix} l_0 \\ 0 \end{bmatrix}$$

$$q^{\#} = \begin{bmatrix} -1 & 0 & 0 \\ 0 & 1 & 0 \end{bmatrix} \cdot x_2(q_2) + \begin{bmatrix} -l_0 \\ 0 \end{bmatrix}$$

# Algoritmo de modelagem

## Paralelos: Exemplo

$$\mathbf{q}^\# = \begin{bmatrix} 1 & 0 & 0 \\ 0 & 1 & 0 \end{bmatrix} \cdot \mathbf{x}_1(\mathbf{q}_1) + \begin{bmatrix} l_0 \\ 0 \end{bmatrix}$$

$$\mathbf{q}^\# = \begin{bmatrix} -1 & 0 & 0 \\ 0 & 1 & 0 \end{bmatrix} \cdot \mathbf{x}_2(\mathbf{q}_2) + \begin{bmatrix} -l_0 \\ 0 \end{bmatrix}$$

$$\bar{\mathbf{q}}(\mathbf{q}) = \begin{bmatrix} 1 & 0 \\ 0 & 1 \\ 1 & 0 \\ 0 & 1 \end{bmatrix} \cdot \mathbf{q}^\# - \begin{bmatrix} 1 & 0 & 0 & 0 & 0 & 0 \\ 0 & 1 & 0 & 0 & 0 & 0 \\ 0 & 0 & 0 & -1 & 0 & 0 \\ 0 & 0 & 0 & 0 & 1 & 0 \end{bmatrix} \cdot \mathbf{x}(\mathbf{q}^\circ) - \begin{bmatrix} l_0 \\ 0 \\ -l_0 \\ 0 \end{bmatrix} = \mathbf{0}$$

# Algoritmo de modelagem

## Paralelos: Exemplo

$$\mathbf{q}^\# = \begin{bmatrix} 1 & 0 & 0 \\ 0 & 1 & 0 \end{bmatrix} \cdot \mathbf{x}_1(\mathbf{q}_1) + \begin{bmatrix} l_0 \\ 0 \end{bmatrix}$$

$$\mathbf{q}^\# = \begin{bmatrix} -1 & 0 & 0 \\ 0 & 1 & 0 \end{bmatrix} \cdot \mathbf{x}_2(\mathbf{q}_2) + \begin{bmatrix} -l_0 \\ 0 \end{bmatrix}$$

$$\bar{\mathbf{q}}(\mathbf{q}) = \begin{bmatrix} 1 & 0 \\ 0 & 1 \\ 1 & 0 \\ 0 & 1 \end{bmatrix} \cdot \mathbf{q}^\# - \begin{bmatrix} 1 & 0 & 0 & 0 & 0 & 0 \\ 0 & 1 & 0 & 0 & 0 & 0 \\ 0 & 0 & 0 & -1 & 0 & 0 \\ 0 & 0 & 0 & 0 & 1 & 0 \end{bmatrix} \cdot \mathbf{x}(\mathbf{q}^\circ) - \begin{bmatrix} l_0 \\ 0 \\ -l_0 \\ 0 \end{bmatrix} = \mathbf{0}$$

$$\bar{\omega}(\mathbf{q}, \dot{\mathbf{q}}) = [\emptyset]$$

# Algoritmo de modelagem

## Paralelos: Exemplo

$$\mathbf{d} = [l_0 \quad 0 \quad -l_0 \quad 0]^T$$

$$\mathbb{D} = \begin{bmatrix} 1 & 0 \\ 0 & 1 \\ 1 & 0 \\ 0 & 1 \end{bmatrix}$$

$$\mathbb{E} = \begin{bmatrix} 1 & 0 & 0 & 0 & 0 & 0 \\ 0 & 1 & 0 & 0 & 0 & 0 \\ 0 & 0 & 0 & -1 & 0 & 0 \\ 0 & 0 & 0 & 0 & 1 & 0 \end{bmatrix}$$

$$\mathbb{F} = \mathbf{0}$$

$$\mathbb{P} = \mathbb{Q} = \mathbb{R} = [\emptyset]$$

# Controle

Lei de controle proposta

### Modelo dinâmico

$$H(q)\ddot{q}^{\#} + h(q, \dot{q}^{\#}) = u$$

Sendo:

$$h(q, \dot{q}^{\#}) = \delta(q) + \sum_{i=1}^{\nu^{\#}} \sum_{j=1}^i \delta_{i,j}(q) \dot{q}_i^{\#} \dot{q}_j^{\#}$$



### Modelo dinâmico

$$\mathbb{H}(\mathbf{q})\ddot{\mathbf{q}}^\# + \mathbb{h}(\mathbf{q}, \dot{\mathbf{q}}^\#) = \mathbf{u}$$

Sendo:

$$\mathbb{h}(\mathbf{q}, \dot{\mathbf{q}}^\#) = \mathbb{\delta}(\mathbf{q}) + \sum_{i=1}^{\nu^\#} \sum_{j=1}^i \mathbb{\delta}_{i,j}(\mathbf{q}) \dot{q}_i^\# \dot{q}_j^\#$$

### Modelo dinâmico estimado

$$\hat{\mathbb{H}}(\mathbf{q})\ddot{\mathbf{q}}^\# + \hat{\mathbb{h}}(\mathbf{q}, \dot{\mathbf{q}}^\#) = \mathbf{u}$$

Sendo:

$$\hat{\mathbb{h}}(\mathbf{q}, \dot{\mathbf{q}}^\#) = \hat{\mathbb{\delta}}(\mathbf{q}) + \sum_{i=1}^{\nu^\#} \sum_{j=1}^i \hat{\mathbb{\delta}}_{i,j}(\mathbf{q}) \dot{q}_i^\# \dot{q}_j^\#$$

### Medidores do erro de modelagem

$$\Delta(q) = H(q)^{-1} \hat{H}(q) - \mathbb{1}$$

$$\delta_0(q) = H(q)^{-1} (\hat{\delta}(q) - \delta(q))$$

$$\delta_{i,j}(q) = H(q)^{-1} (\hat{\delta}_{i,j}(q) - \delta_{i,j}(q))$$

### Lei de controle

$$u = \hat{h} + \hat{H}(\ddot{q}_d^{\#} + \underline{\lambda}\dot{e} + \underline{k}\text{sign}(\dot{e} + \underline{\lambda}e))$$

### Lei de controle

$$u = \hat{h} + \hat{H}(\ddot{q}_d^{\#} + \underline{\lambda}\dot{e} + \underline{k}\text{sign}(\dot{e} + \underline{\lambda}e))$$

Sendo:

$$\text{diag}(\underline{k}) = \eta + \Gamma|\ddot{q}_d^{\#} + \underline{\lambda}\dot{e}| + \sum_{i=1}^{\nu^{\#}} \sum_{j=1}^i \eta_{i,j} |\dot{q}_i^{\#}| |\dot{q}_j^{\#}|$$

$$\Gamma = (\mathbb{1} - |\Delta|_{\max})^{-1} |\Delta|_{\max}$$

$$\eta = (\mathbb{1} - |\Delta|_{\max})^{-1} (|\delta_0|_{\max} + \text{diag}(\eta\mathbb{1}))$$

$$\eta_{i,j} = (\mathbb{1} - |\Delta|_{\max})^{-1} |\delta_{i,j}|_{\max}$$

# Controle

## Metodologia de projeto



- Discretizar o espaço de trabalho em um número finito de pontos

- Discretizar o espaço de trabalho em um número finito de pontos
- Para cada ponto, calcular  $|\Delta|$ ,  $|\delta_0|$  e  $|\delta_{i,j}|$  para todas as combinações possíveis de parâmetros, com os parâmetros podendo assumir seu valor mínimo e seu valor máximo

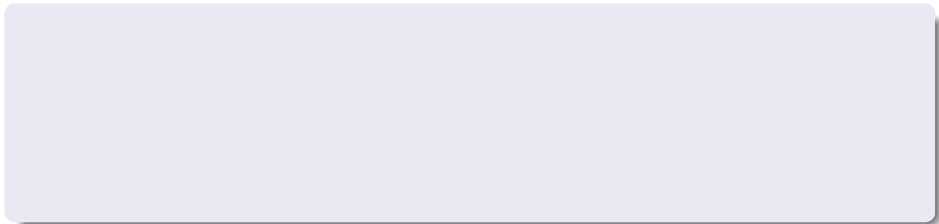
- Discretizar o espaço de trabalho em um número finito de pontos
- Para cada ponto, calcular  $|\Delta|$ ,  $|\delta_0|$  e  $|\delta_{i,j}|$  para todas as combinações possíveis de parâmetros, com os parâmetros podendo assumir seu valor mínimo e seu valor máximo
- Obter o valor máximo de  $|\Delta|$ ,  $|\delta_0|$  e  $|\delta_{i,j}|$  para cada ponto.



- Discretizar o espaço de trabalho em um número finito de pontos
- Para cada ponto, calcular  $|\Delta|$ ,  $|\delta_0|$  e  $|\delta_{i,j}|$  para todas as combinações possíveis de parâmetros, com os parâmetros podendo assumir seu valor mínimo e seu valor máximo
- Obter o valor máximo de  $|\Delta|$ ,  $|\delta_0|$  e  $|\delta_{i,j}|$  para cada ponto.
- Obter o valor máximo de  $|\Delta|$ ,  $|\delta_0|$  e  $|\delta_{i,j}|$  para o espaço de trabalho, a partir do valor máximo em cada ponto.

# Controle

## Vantagens da lei proposta



- Alto desempenho, mesmo em altas velocidades/acelerações

- Alto desempenho, mesmo em altas velocidades/acelerações
- Insensível incertezas paramétricas

- Alto desempenho, mesmo em altas velocidades/acelerações
- Insensível incertezas paramétricas
- Baixo custo computacional, visto que é possível tabular  $\hat{H}$ ,  $\hat{\theta}$  e  $\hat{\theta}_{i,j}$

- Alto desempenho, mesmo em altas velocidades/acelerações
- Insensível incertezas paramétricas
- Baixo custo computacional, visto que é possível tabular  $\hat{H}$ ,  $\hat{\theta}$  e  $\hat{\theta}_{i,j}$
- Alta robustez

# Resultados

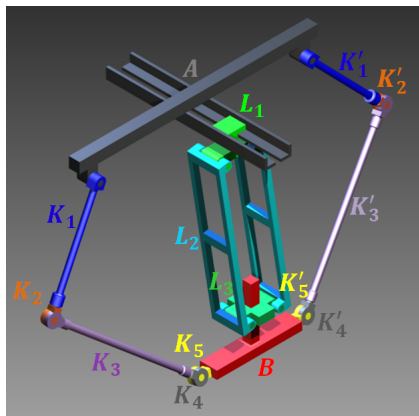
## Simulações

# Resultados

## Simulações

### Mecanismo

2RSU + PPaP



(Orsino 2012)

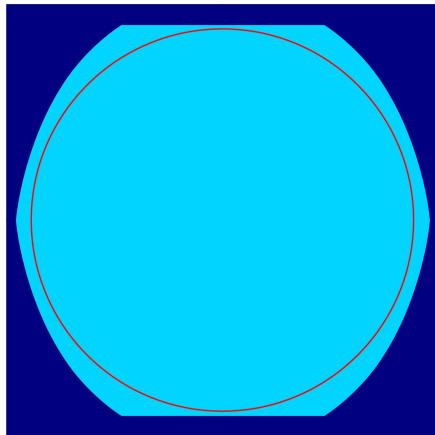


# Resultados

## Simulações

### Trajectoria de referência

Círculo com 740mm de diâmetro, velocidade tangencial de 1.0m/s.



# Resultados

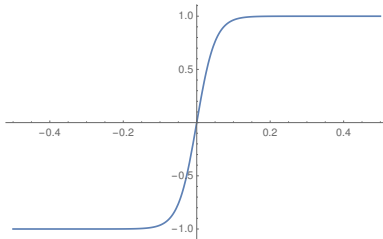
## Simulações

### Parâmetros do controlador

- $\lambda = 50.0 \Rightarrow$  Tempo de assentamento de 0.08s
- $\eta = 20.0 \Rightarrow$  Tempo de chegada a  $s = 0$  menor que 0.05s

### Função de saturação

$$f_{sat}(x) = \tanh(20x)$$

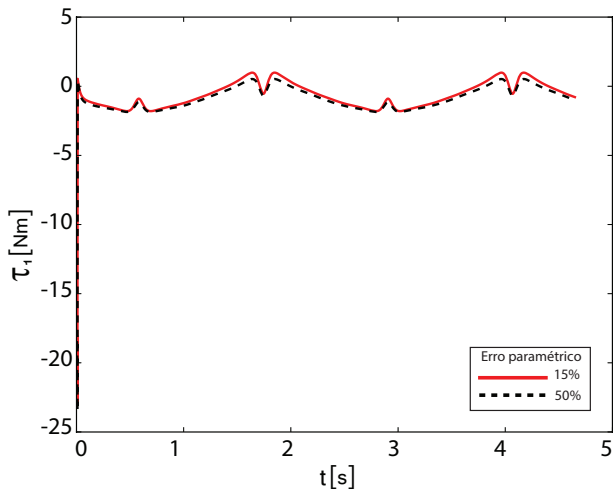


# Resultados

## Simulações

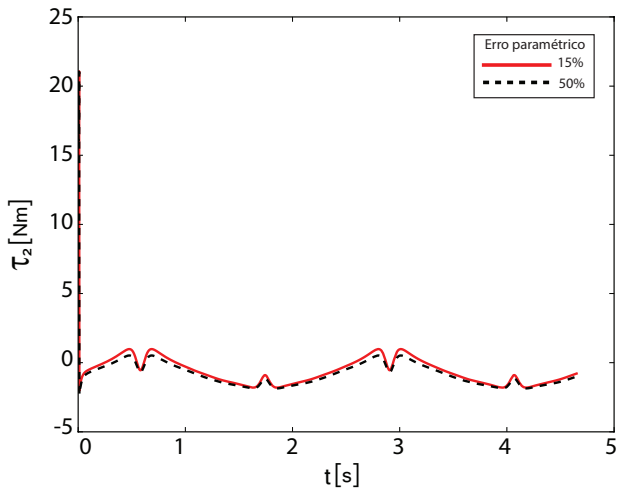
# Resultados

## Simulações



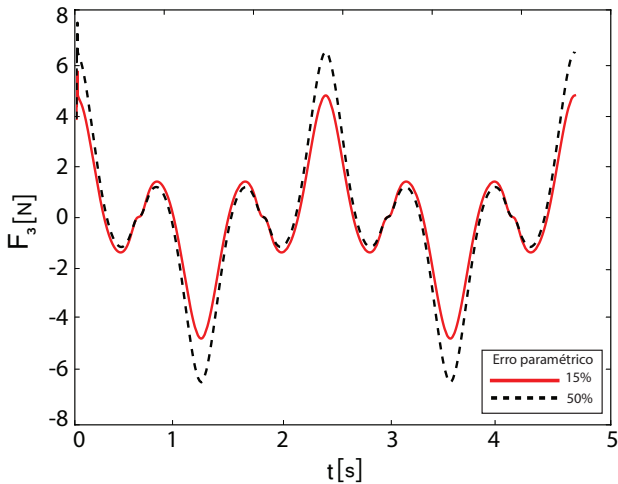
# Resultados

## Simulações



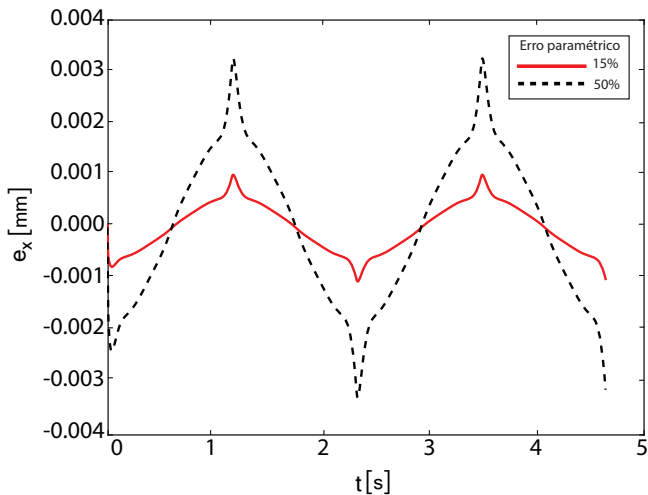
# Resultados

## Simulações



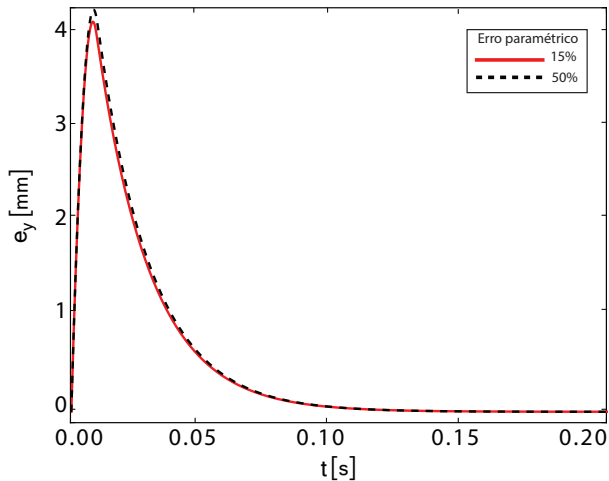
# Resultados

## Simulações



# Resultados

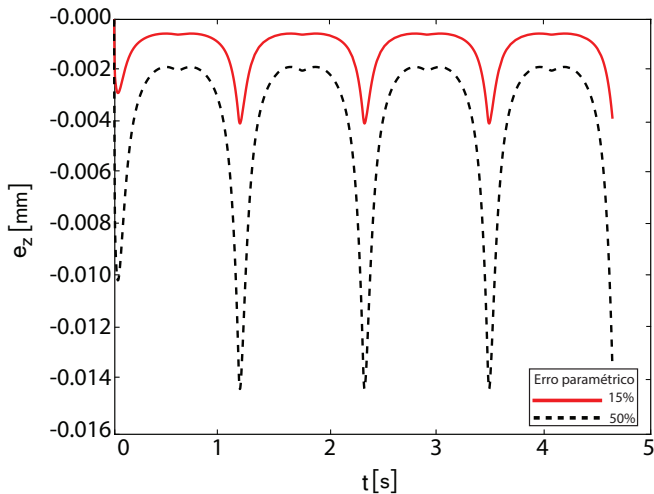
## Simulações





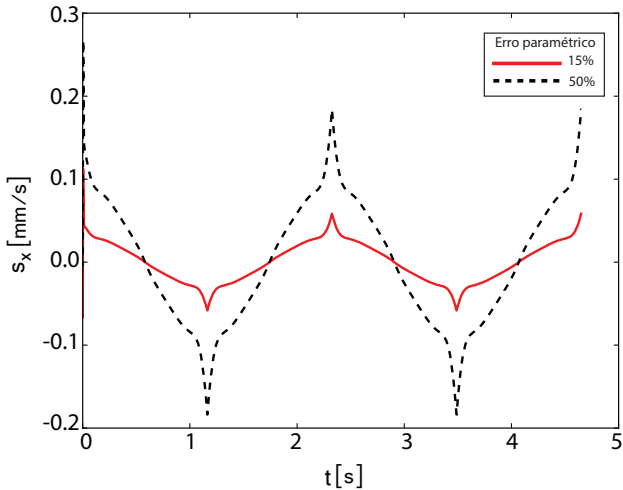
# Resultados

## Simulações



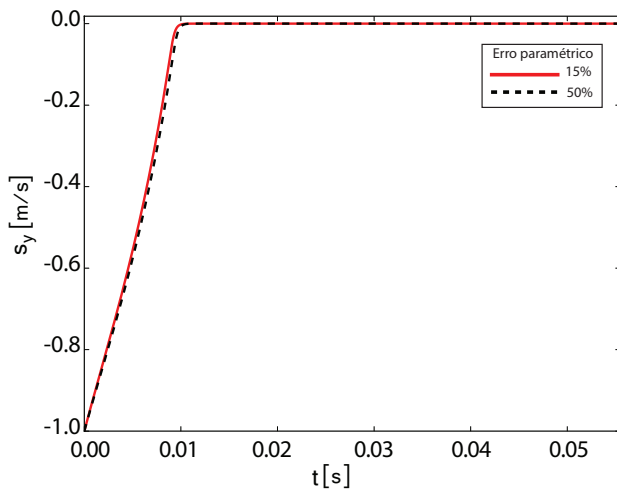
# Resultados

## Simulações



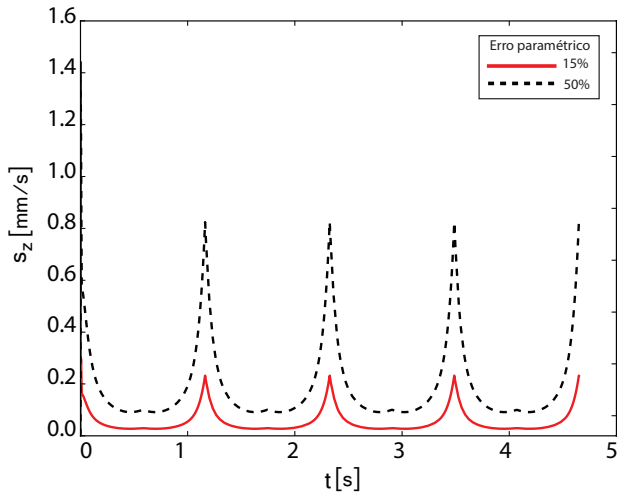
# Resultados

## Simulações

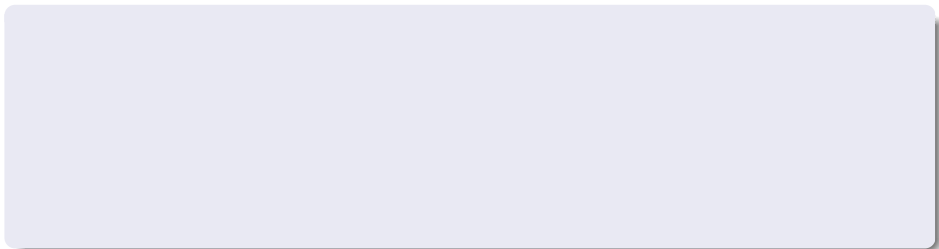


# Resultados

## Simulações



# Conclusões parciais



# Conclusões parciais

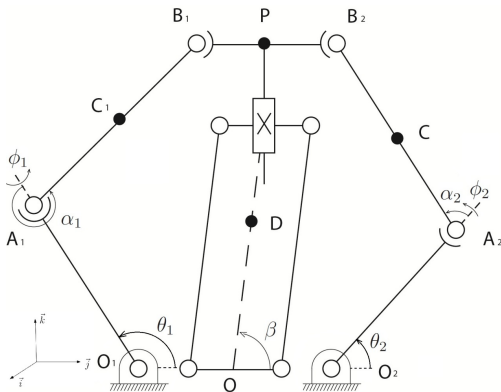
- É fundamental a utilização linguagens de alta eficiência computacional para realizar simulações dinâmicas de modelos completos de mecanismos complexos

## Conclusões parciais

- É fundamental a utilização linguagens de alta eficiência computacional para realizar simulações dinâmicas de modelos completos de mecanismos complexos
- É possível obter alto desempenho no controle mecanismos paralelos em altas velocidades/acelerações utilizando técnicas de controle não linear robusto, mesmo com altos níveis de incertezas paramétricas

## BioRob 2014

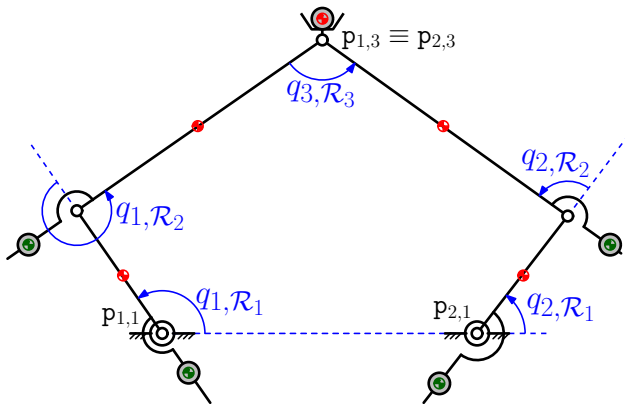
“Development of a Controller of a 3-Dof Robotic Platform for User Interaction in Rehabilitation Therapies”





## Capítulo de livro

“Dynamic Modelling and Control of balanced parallel mechanisms”



## International Journal of Mechanisms and Robotic Systems

“A new approach for obtaining the dynamic balancing conditions in serial mechanisms”

